

# Misura diretta dei momenti di dipolo dei barioni con charm 'fascino' a LHC

Sara Cesare, Università degli studi di Milano e INFN-Milano, in rappresentanza della collaborazione TWOCRIST  
Incontri di Fisica delle Alte Energie, Firenze, 3 - 5 Aprile 2024

## Misura diretta dei momenti di dipolo dei barioni con charm

### Motivazione fisica

#### Momento di Dipolo Magnetico (MDM)

- Permette di modellizzare l'interazione forte e studiare la struttura interna dei barioni.
- Sensibilità attesa ~10%

#### Momento di Dipolo Elettrico (EDM)

- Di una particella elementare viola CPT → nuova sorgente di bariogenesi.
- Misura esplorativa - sensibilità  $3 \times 10^{-16}$  e cm

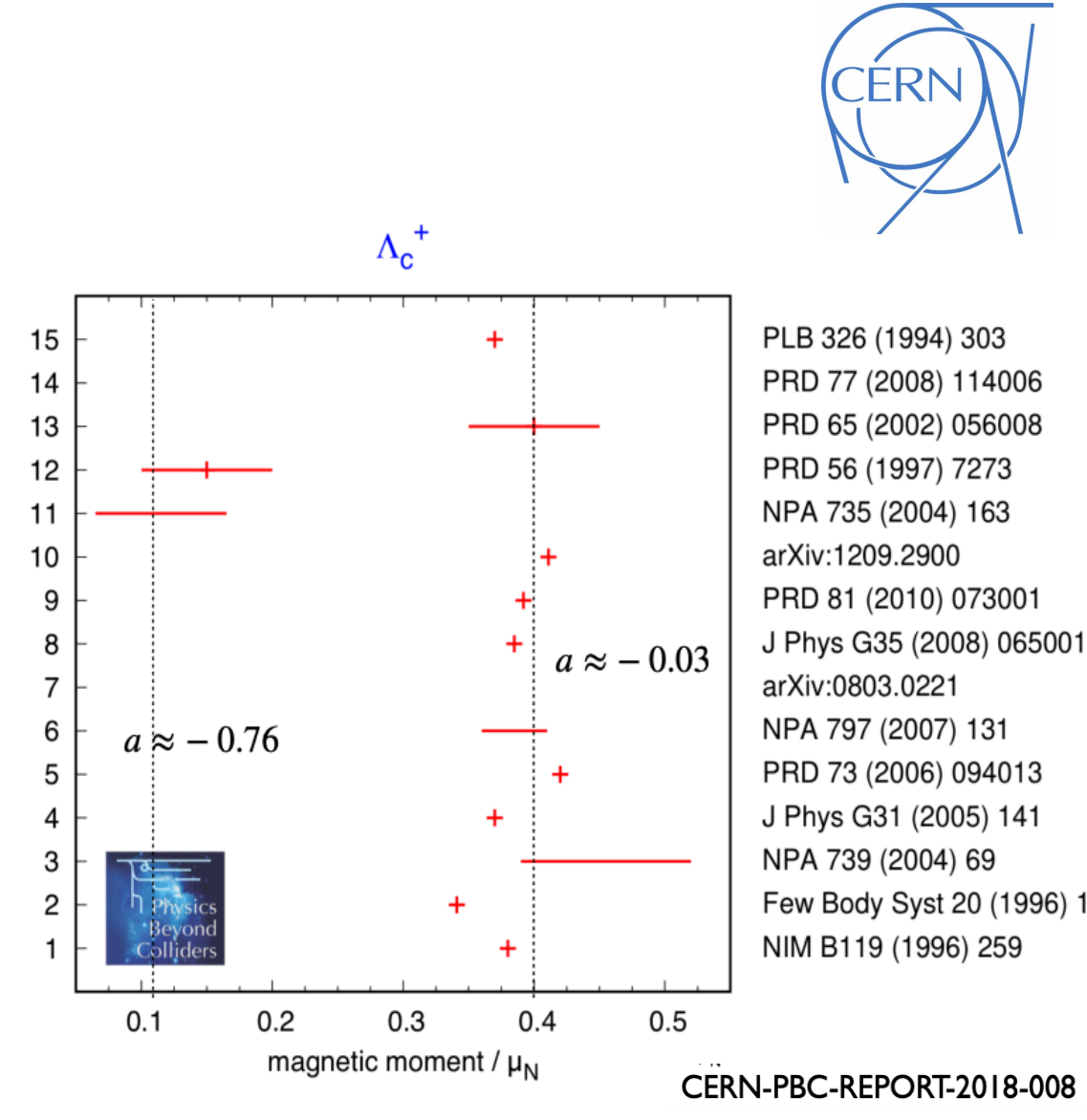
### Metodo sperimentale

#### Precessione dello Spin in cristalli curvati:

- Dovuta al forte campo elettrico presente tra i piani cristallini  $E \approx 1$  GV/m [3,4]

La distribuzione angolare dei prodotti di decadimento dipende dalla polarizzazione [5,6]:

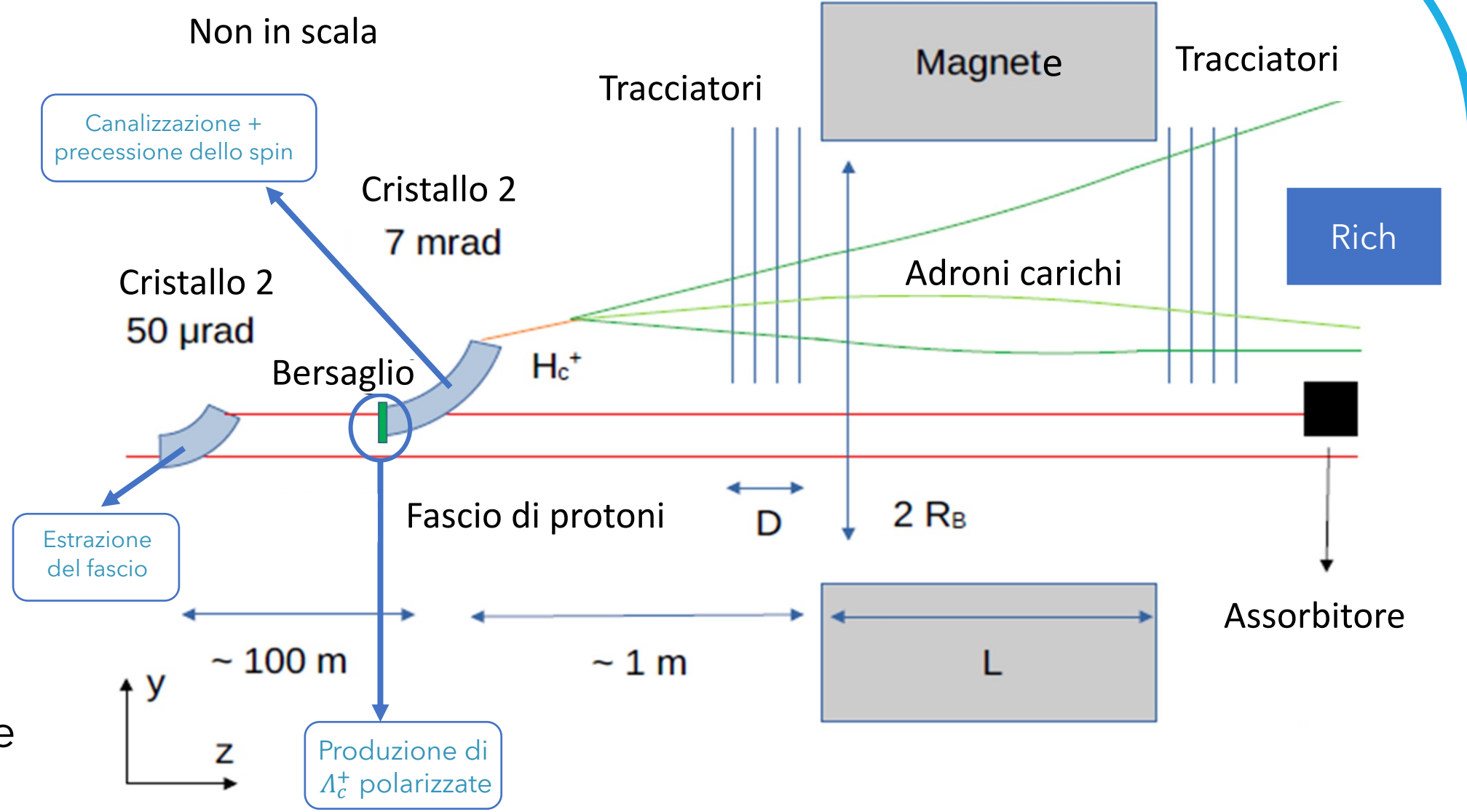
- La precessione dello Spin dipende dal MDM:  $\Phi \approx \frac{g-2}{2} \gamma \theta_C$  dove  $\theta_C$  è l'angolo di curvatura
- La componente X del vettore di Spin dopo la precessione dipende dal EDM:  $s_x \approx s_0 \frac{d}{g-2} (\cos \Phi - 1)$



## Esperimento a targhetta fissa a LHC

### Apparato sperimentale

- Cristallo 1: estrazione dell'alone del fascio di LHC
- Bersaglio di tungsteno - 2 cm
- Cristallo 2: precessione dello spin dei barioni con charm
- Spettrometro: ricostruzione dei barioni con un magnete da 1.9 Tm
- Rivelatore per l'identificazione delle particelle - RICH

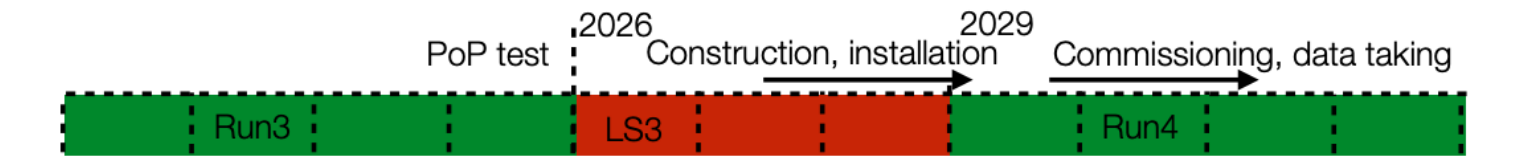
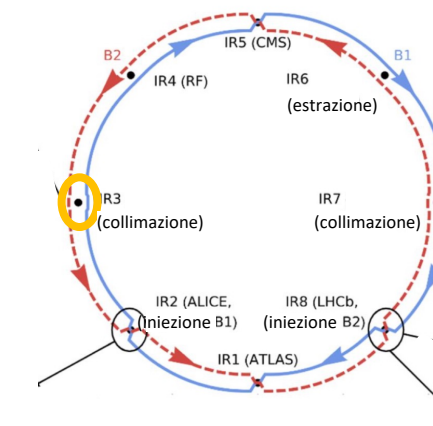


### Possibili scenari

1. Esperimento indipendente a IR3 a LHC (nominale)
2. Targhetta in fronte al detector LHCb (riserva)

### Linea temporale

- Prova di Principio approvata da LMC per prendere dati nel 2025.
- Revisione in corso da parte del comitato scientifico LHCC
- Lettera d'Interesse sarà presentata a giugno



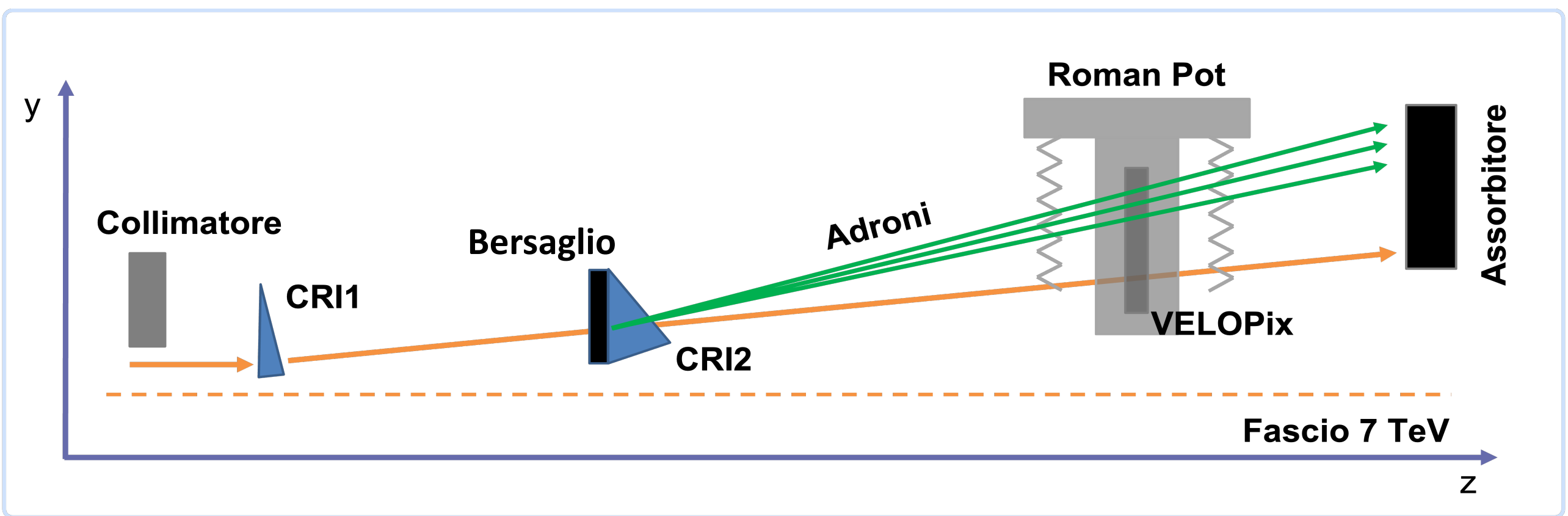
## Prova di Principio TWOCRIST a IR3 a LHC

Una prova di principio (PdP), chiamata TWOCRIST, è prevista entro la fine del 2025 a IR3, una delle due regioni di collimazione di LHC.

### Obiettivi della PdP

- Controllo della canalizzazione dell'alone del fascio.
- Misura dell'efficienza di canalizzazione per cristalli lunghi alle energie del TeV.
- Studio dell'intensità del fascio di protoni su bersaglio e studio delle criticità.

### Apparato sperimentale della PdP



### Cristalli curvati

- Cristallo 1 (TCCS) - 50  $\mu$ rad, 4 mm
- Cristallo 2 (TCCP) - 7 mrad, 7 cm

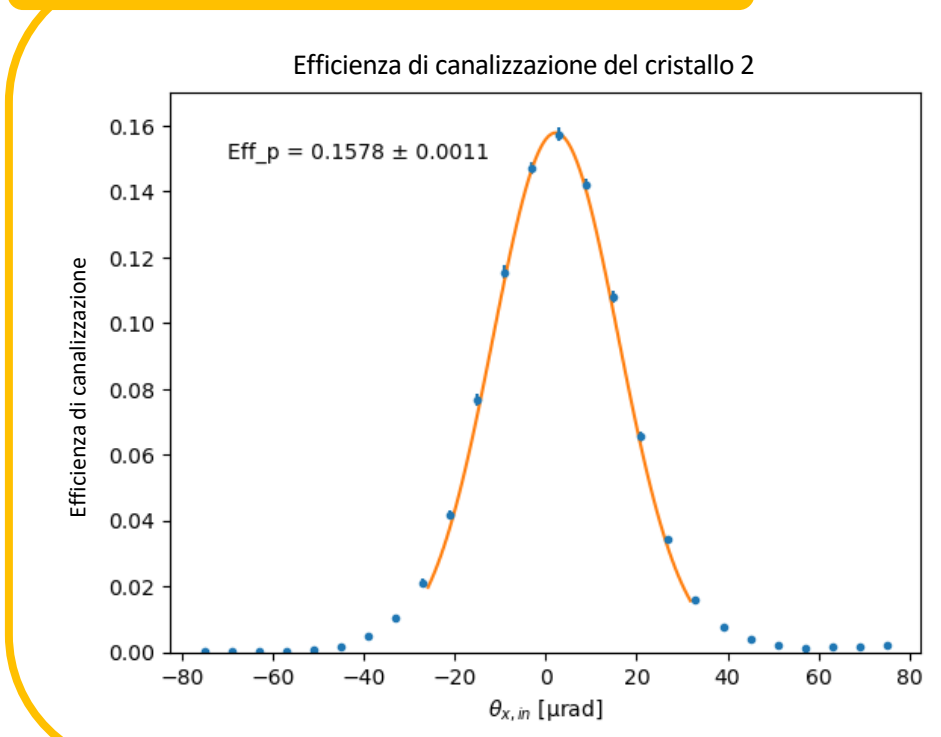
Testati su fascio a SPS con pioni da 180 GeV per misurare l'efficienza di canalizzazione.

Eff (CRI1) ~ 60%  
Eff (CRI2) ~ 16%



Cortesia di A. Mazzolari, INFN Ferrara

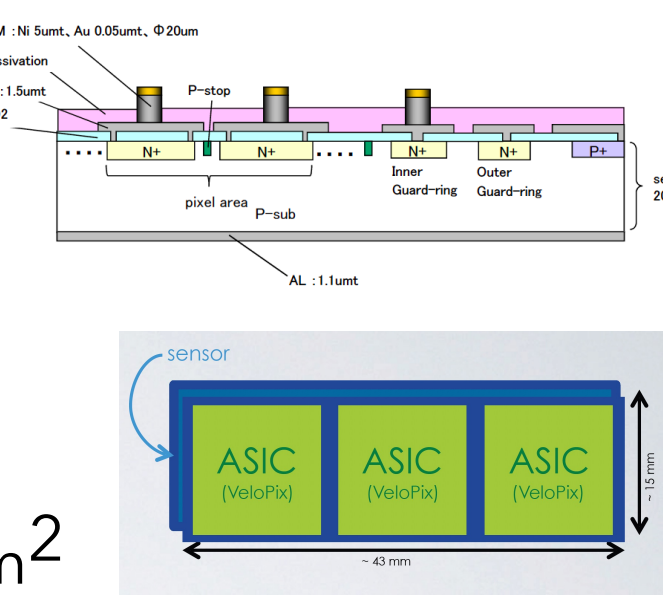
### Test su fascio dei cristalli curvati



## Sensori al Silicio e ASIC

### Sensori HAMAMATSU

- Sensori al silicio di tipo n su p
- Spessore - 200  $\mu$ m
- Area attiva - 42.57 x 14.08 mm<sup>2</sup>
- Tensione massimo 800 V

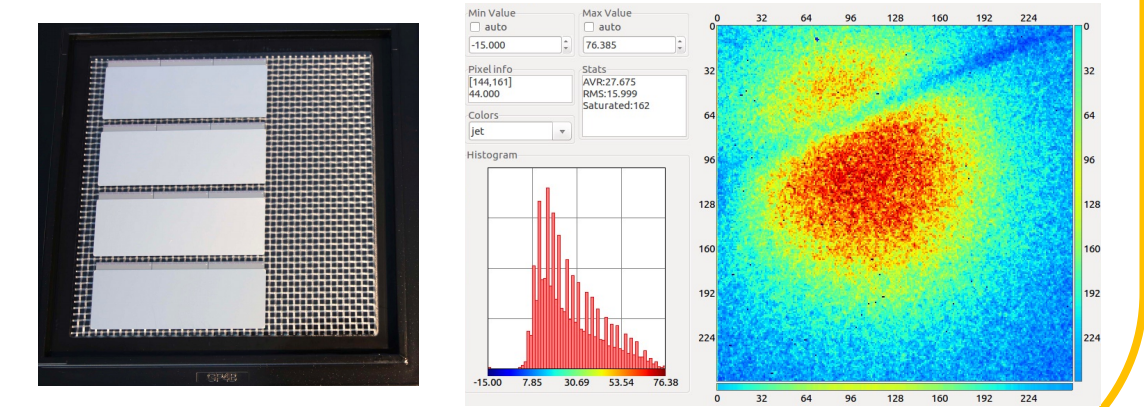


### VeloPix ASICs

- 130 nm CMOS, 256 x 256 pixel con passo di 55  $\mu$ m
- Dimensioni 14.14 x 16.60 mm<sup>2</sup>
- Resistenza alla radiazione -  $8 \times 10^{15}$  1 MeV n eq/cm<sup>2</sup>

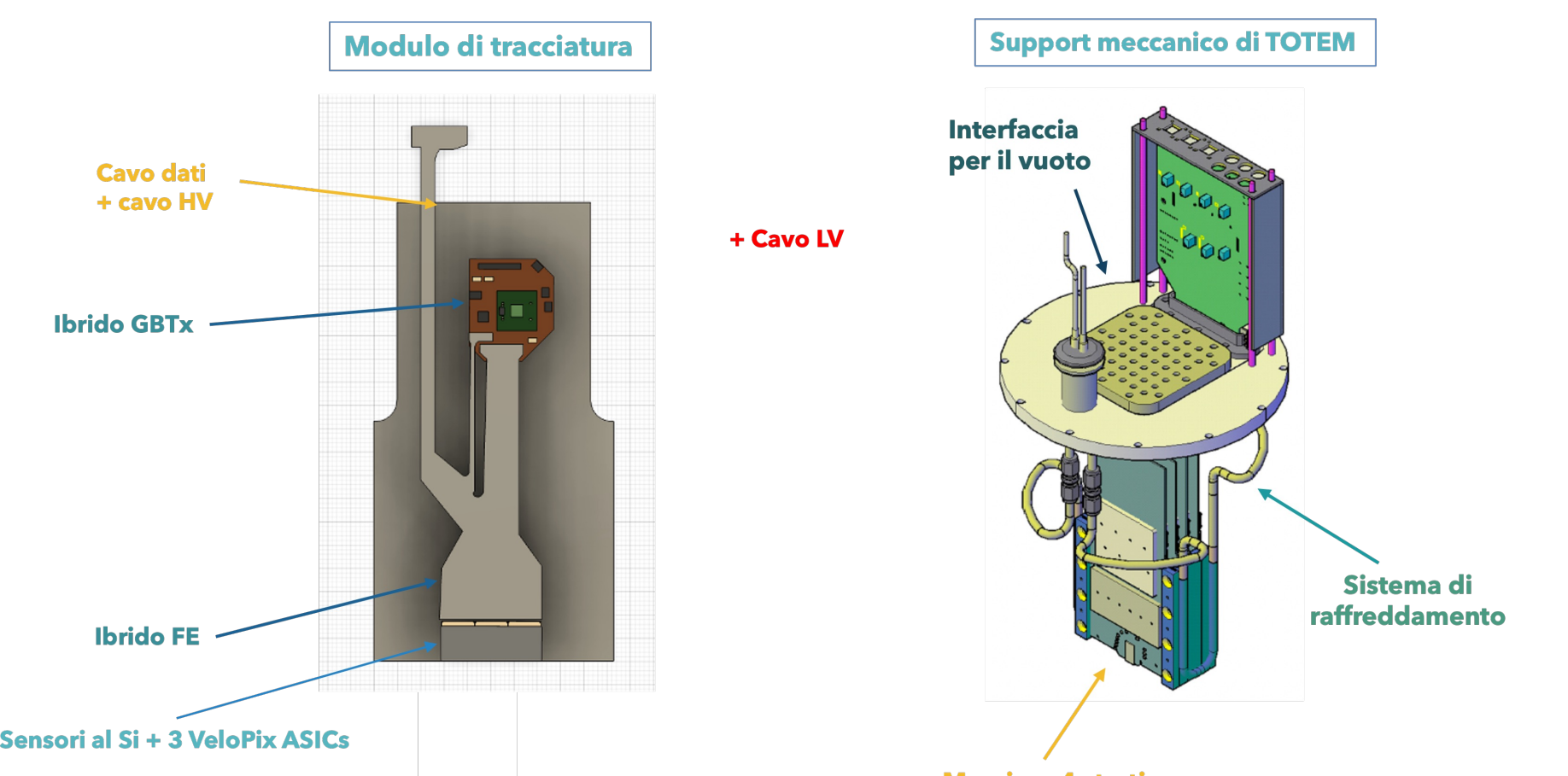
### Controllo qualità dei sensori

- Alimentazione e verifica dei registri
- Risposta ai comandi TFC
- Matrici ECS e scansione DAC
- Equalizzazione veloce
- Scansione del rumore
- Test con sorgente radioattiva Sr90



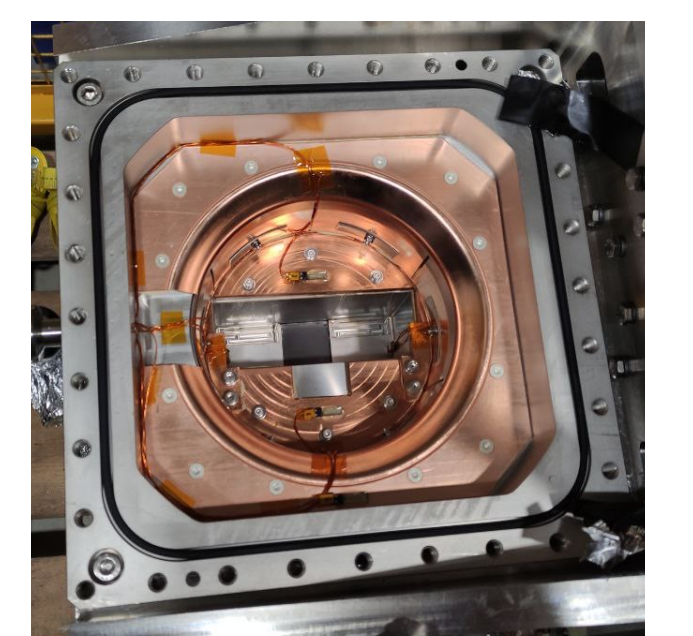
### Integrazione meccanica

- Sistema di tracciatura modulare, ogni modulo una tripletta + GBTx
- Supporto meccanico può contenere al più 4 moduli
- Sistema di raffreddamento ad acqua basato su quello dell'esperimento TOTEM di CMS - temperatura 20° C



### Roman Pots

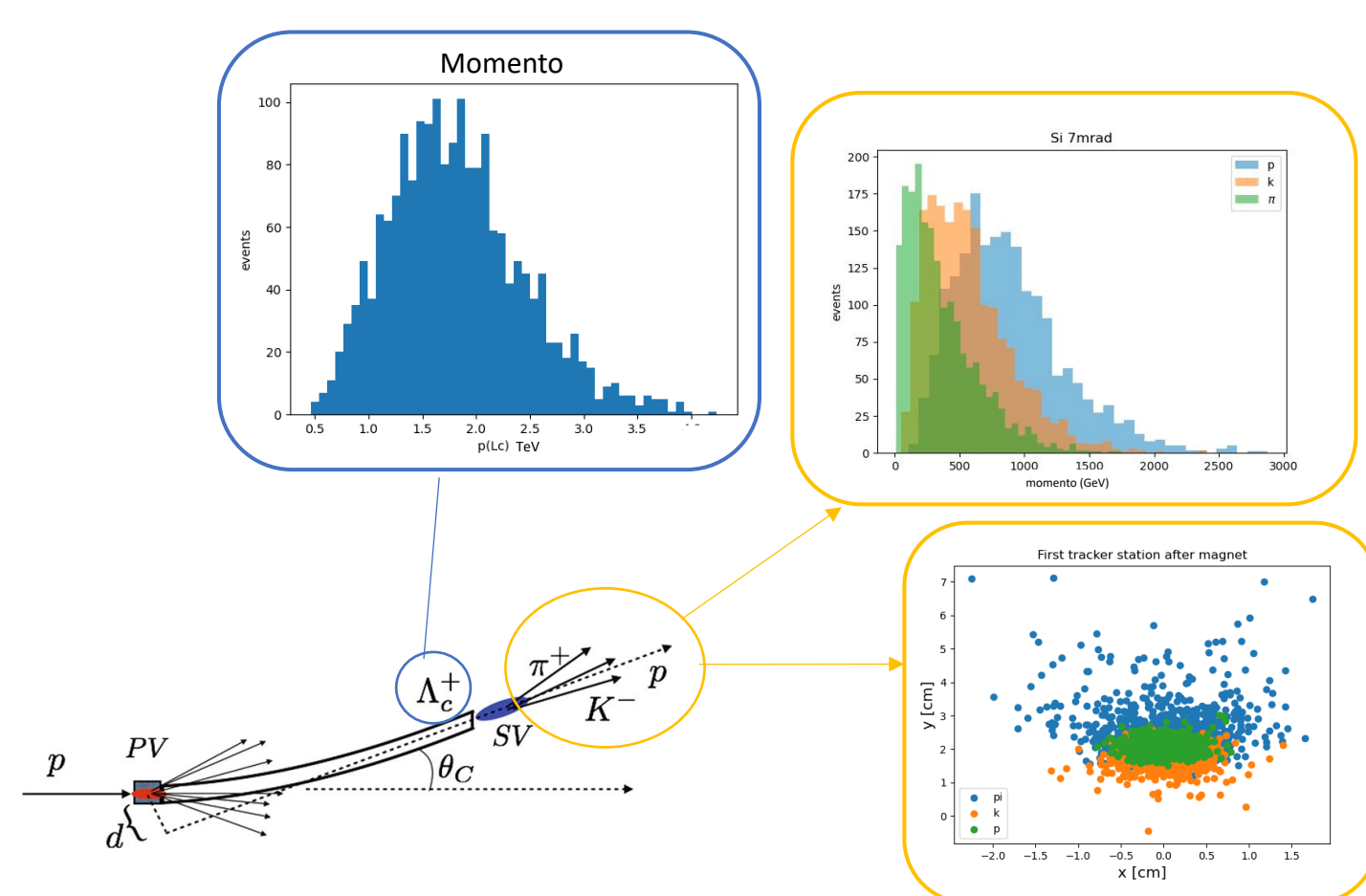
- Permettono di inserire il rivelatore in un vuoto secondario all'interno del tubo dell'acceleratore senza interferire con il fascio
- Possibilità di raggiungere una distanza  $d < 1$  mm dal fascio principale
- 2 stazioni pronte per essere installate - prese in prestito dall'esperimento ALFA di ATLAS



## Studi preparatori per l'esperimento a IR3

### Cinematica dei barioni prodotti a LHC:

- direzione quasi parallela al fascio originale
- energia > 1 TeV



### Specifiche dell'esperimento a targhetta fissa:

- 2 anni di presa dati con flusso di  $10^6$  p/s
- Spessore del bersaglio di tungsteno - 2 cm
- Luminosità integrata  $L = 0.9 \times 10^{31}$  cm<sup>-2</sup>s<sup>-1</sup>

### Possibilità di estendere il programma di misure a:

- Produzione in avanti di mesoni D
- Fotoproduzione di mesoni J/ψ

## Spettrometro con accettazione in avanti

Rivelatore progettato per ricostruire particelle prodotte ad angolo zero.

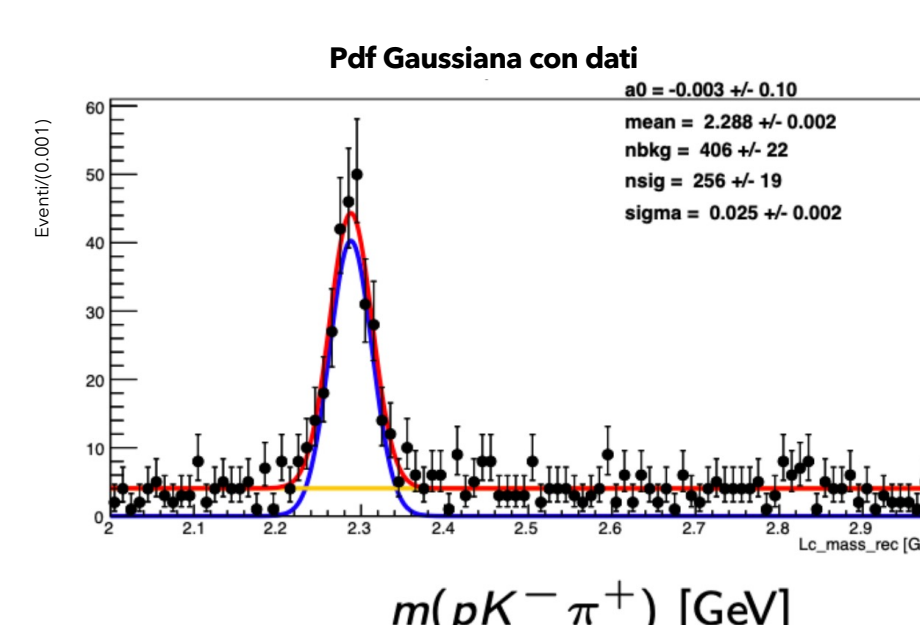
### Pseudorapidità $5 < \eta < 10$



- 4 stazioni Roman Pot, distanza tra le stazioni  $D = 1$  m
- 2 - 4 moduli di tracciatori per Roman Pot
- Magnete da 1.9 Tm

Risoluzione necessaria sulla massa invariante del barione  $\Lambda_c^+$  per discriminare i segnali dagli eventi di fondo: **25 MeV**

- $\Lambda_c^+ \rightarrow p^+ K^- \pi^+$  segnale
- $D^+ \rightarrow K^- \pi^+ \pi^+$  fondo
- $D_s^+ \rightarrow K^+ K^- \pi^+$  fondo



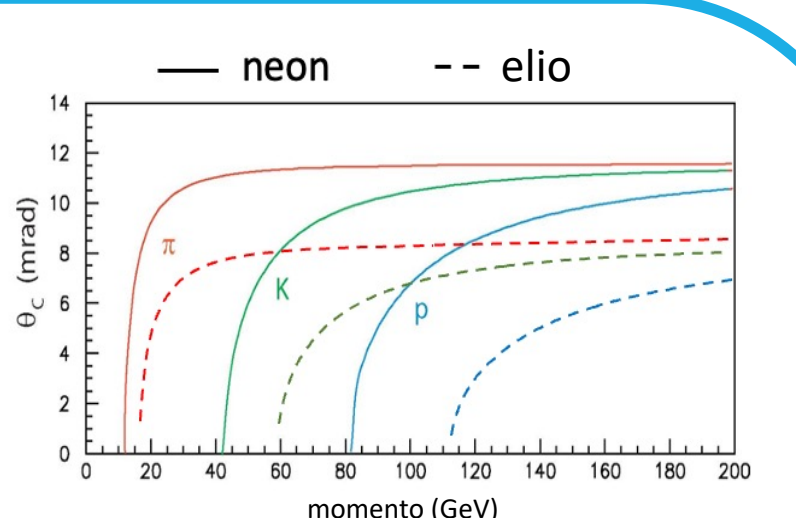
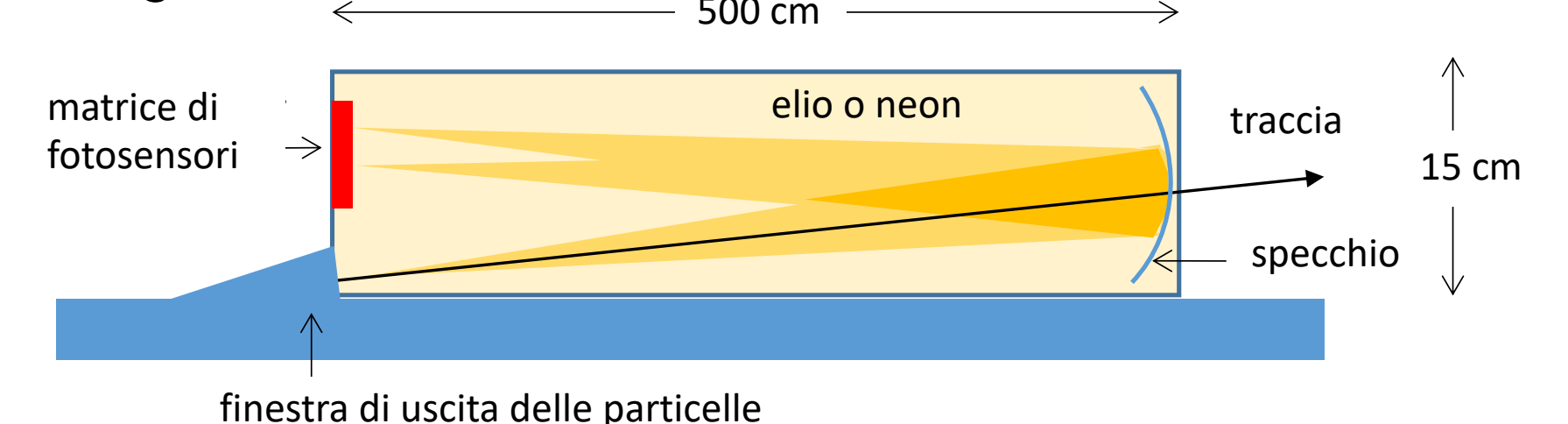
## Rivelatore Cherenkov

### Requisiti:

- Eccellente risoluzione -  $E > 1$  TeV
- Dimensioni contenute

### Soluzione:

- Fotosensori (SIPM) ad alta granularità e alta efficienza
- Utilizzo di elio o neon per aumentare la risoluzione ad alte energie



### Referenze

- [1] PDG, J. Phys. G: Nucl. Part. Phys. 47 (2020) 010501
- [2] A. Dainese et al., CERN-PBC-REPORT-2018-008
- [3] V.G. Baryshevsky, Pis'ma Zh. Tekh. Fiz. 5 (1979) 182
- [4] A.S. Fomin et al., J. High Energy Phys. 2017 (2017) 120
- [5] F. Botella et al., Eur. Phys. J. C (2017) 77:181
- [6] E. Bagli et al., Eur. Phys. J. C (2017) 77:828
- [7] D. Mirarchi et al., Eur. Phys. J. C 80 (2020) 10:929
- [8] W. Scandale et al., Phys. Lett. B 758 (2016) 129:133
- [9] S. Aiola et al., Phys. Rev. D 103 (2021) 072003.
- [10] Bagli, E., Asai, M., Brandt, D. et al. Eur. Phys. J. C 74, 2996 (2014).